

تعیین تجربی مشخصات آکوستیکی محفظه‌ی احتراق موتورهای راکت سوخت مایع

محمد فرشچی (دانشیار)

دانشکده‌ی مهندسی هواپیاء، دانشگاه صنعتی شریف

حیبت‌الله هروجو (دانشجوی دکتری)

دانشکده‌ی مهندسی مکانیک، دانشگاه آزاد اسلامی واحد علوم و تحقیقات تهران

حسام‌الدین فاتحی (دانشجوی کارشناسی ارشد)

دانشکده‌ی مهندسی هواپیاء، دانشگاه صنعتی شریف

موتورهای راکت سوخت مایع گاهی با پذیره‌های نایابداری احتراق و نوسانات شدید فشار محفظه، همراه با نوسانات شعله‌ی خروجی نازل، کنده شدن از پذیره‌ها، و در نهایت انهدام موtor رزبورو می‌شوند که ناگهان در حین کار رخ می‌دهد. پذیره‌های نایابداری احتراق فرکانس بالا در نتیجه‌ی تأثیر متقابل بین فرایند احتراق و آکوستیک محفظه‌ی احتراق موجود می‌آید. برای بررسی این پذیره به دست آوردن مشخصات آکوستیکی محفظه‌ی احتراق ضروری است. در این نوشتار، روش تعیین تجربی مشخصات آکوستیکی درون یک محفظه احتراق اوله شده است. ابتدا یک آزمایشگاه صوتی مجهز به یک اتاق آکوستیکی، و تجهیزات تولید و ثبت صوت با قابلیت حرکت در فضای سه بعدی درون محفظه‌ی احتراق طراحی و ساخته شده است. پس از بررسی توان سطوح اتاق در جذب صوت و تأیید عملکرد تجهیزات تولید و ثبت صوت، مشخصات آکوستیکی چندین محفظه‌ی استوانه‌ی با ابعاد و شرایط مرزی مختلف تعیین و با نتایج تحلیلی مقایسه شده است. نتایج حاصل نشان می‌دهند که روش‌های تجربی اوله شده امکان شناسایی و توجیه پذیره‌های آکوستیکی درون محفظه‌های سه بعدی و تأثیر تغییرات هندسی و شرایط مرزی مختلف را فراهم کرده است. ضمن شناسایی پذیره‌ی دگرگونی شکل امواج ایستای آکوستیکی در محفظه‌های باتقارن محوری، در شرایط تزدیک بودن اندازه‌ی قطر محفظه به طول آن، روابط پارامتریک برای پیش‌بینی این پذیره اوله شده است. براساس نتایج به دست آمده، نسبت طول موج مناسب با فرکانس آستانه‌ی شروع دگرگونی موج ایستای محوری به قطر لوله، (λ_d/D) ، برابر ۰/۷ است.

مشخصات مدهای آکوستیکی محوری درون یک محفظه‌ی احتراق، شامل قسمت همکرای نازل، به روش تجربی اندازگیری و با معادلات نظری پیشنهاد شده، مقایسه شده است.

بالاکنترول، یا حذف مدهای آکوستیکی است که از امکان همگیری و تشیدید با نوسانات ایجاد شده در فرایند احتراق برخوردارند. در این راستا روش‌های مختلفی به کار گرفته شده است.^[۱] از آن جمله می‌توان به نصب حائل‌های صلیبی روی صفحه‌ی ازنکتور موtor و نیز استفاده از تشیدیدگرهای هلمهولتز در دیوارهای محفظه‌ی احتراق^[۲]، و تغییرات در آریش جای‌گذاری ازنکتورها^[۳] اشاره کرد. به دست آوردن مشخصات آکوستیکی یک چنین محفظه‌ی احتراقی که شامل صفحات صلیبی، تشیدیدگرهای هلمهولتز و انواع چیدمان ازنکتورها باشد به منظور شناسایی میدان آکوستیکی، که با فرایند احتراق همگیری می‌کند و باعث ایجاد نایابداری احتراق می‌شود ضروری است.

پیچیدگی هندسی درون محفظه‌ی احتراق و امکانات محدود روش‌های تحلیلی و عددی برای به دست آوردن مشخصات آکوستیکی محفظه‌ی احتراق انجام آزمایش‌های تجربی را الزامی می‌کنند. از آنجا

مقدمه
نایابداری فرکانس بالا که از نوع گاز دینامیکی است، خط‌ناکترین نوع نایابداری است. سازوکار این پذیره براساس همگیری (اندرکنش) میان یکی از مدهای آکوستیکی محفظه‌ی احتراق با فرایند احتراق به وجود می‌آید. مدهای آکوستیکی ایجاد شده به مدهای طولی و عرضی تقسیم می‌شوند. در مدهای طولی موج‌ها از صفحه‌ی ازنکتور به سمت گلوگاه نازل محفوظه احتراق حرکت می‌کنند. در مدهای عرضی (مماسی و شعاعی)، موج از دیوارهای عرضی محفظه منعکس می‌شود. به علت رسیدن سرعت جریان به سرعت صوت در گلوگاه نازل، و افزایش سرعت در قسمت واگرای نازل امواج پایین دست گلوگاه امکان حرکت به طرف بالا دست جریان را ندارند (شکل ۱). لذا برای مطالعه‌ی این پذیره در نظر داشتن ناحیه‌ی محفظه‌ی احتراق و نازل همگرا کافی است.

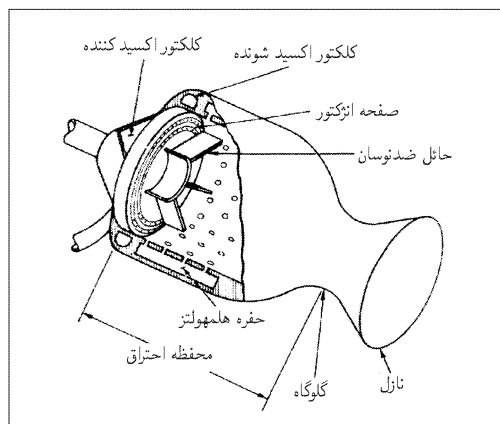
یکی از روش‌های مؤثر در جلوگیری از بروز نایابداری فرکانس

سه بعدی نسبتاً ساده مقدور شد و نتایج حاصله با نتایج نظری موجود مقایسه شد. سپس هندسه های نزدیک به هندسه های محفظه ای احتراق مورد آزمایش قرار گرفتند. در این مقطع مشاهدات آزمایشگاهی نشان دهنده وجود تأثیرات هندسه های سه بعدی بر میدان آکوستیکی محفظه و دور شدن نتایج تجربی از نتایج تحلیلی بوده اند. پس از تفکیک اثرات مختلف سه بعدی و تأثیرات شرایط مرزی، روش انجام آزمایش و هندسه های متناسب با هندسه های محفظه ای احتراق برای انجام آزمایش های نهایی در نظر گرفته شدند.

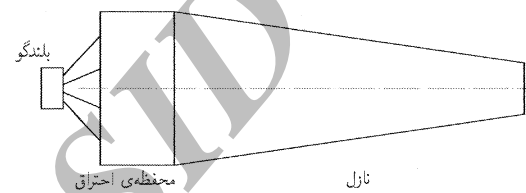
در ادامه، ابتدا ساختار اتاق آکوستیکی و چیدمان آن و نحوه استفاده از تجهیزات آزمایشگاهی به طور خلاصه ارائه می شود. سپس نتایج آزمایش های انجام شده در لوله های استوانه با $L/D > 1$ و با نتایج تحلیلی مقایسه خواهد شد. نهایتاً نتایج آزمایش های گسترد و مسروق توجیه فیزیکی مشاهدات برای هندسه های نزدیک به هندسه های محفظه ای احتراق ارائه شده و مورد بحث و بررسی قرار خواهد گرفت.

آزمایشگاه آکوستیک محفظه ای احتراق

هدف از ایجاد آزمایشگاه آکوستیکی فراهم آوردن قابلیت آزمایش انواع محفظه سرد با ابعاد گوناگون، و تولید و ثبت صوت به صورت اتوماتیک در یک فضای سه بعدی است. چنین آزمایشگاهی شامل یک اتاق آکوستیکی، اتاق فرمان، سیستم تولید صوت، سیستم داده برداری، و سیستم تعلیق محفظه ای احتراق و حرکت میکروفون ها است. هر یک از سیستم های فوق و ویژگی های مربوطه در این بخش مورد بررسی قرار خواهد گرفت.



شکل ۱. نمایی کلی از رزیمهای جریانی در موتور سوخت مایع.



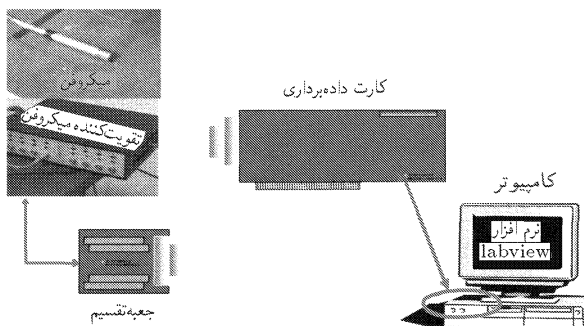
شکل ۲. مدل هندسی محفظه ای احتراق برای شناسایی میدان آکوستیکی.

که امکانات آزمایشگاهی برای انجام آزمایش های گرم و اندازه گیری مشخصات محفظه ای احتراق در زمان عملکرد موتور بسیار پرهزینه است، و با در نظر گرفتن خطی بودن میدان آکوستیکی قبل از وقوع تأثیراتی احتراق، می توان از یک محفظه سرد، بدون در نظر گرفتن میدان جریان و احتراق، برای شناسایی آکوستیکی محفظه استفاده کرد.^[۵۶] شکل ۲ مدل محفظه ای سرد مورد استفاده در تحقیقات کنونی را نشان می دهد.

در این پژوهش اهدافی همچون تعیین مشخصات آکوستیکی محفظه ای احتراق و تعیین تأثیر تغییرات هندسی و شرایط مرزی بر مشخصات آکوستیکی محفظه را دنبال می کنیم. برای رسیدن به این اهداف نیاز به تعیین فرکانس های حاکم بر محفظه، تعیین شکل امواج طولی و عرضی محفظه، تعیین فاز امواج نسبت به مولد صوت و تعیین میدان تأثیر هر یک از اجزاء محفظه (هندسه های محفظه، آریش انزکتورها، ناحیه خنک کاری، صفحات صلیبی، حفره های هلمهولتز) بر شکل موج است. لذا برای رسیدن به اهداف فوق اقدام به طراحی و ساخت یک آزمایشگاه آکوستیکی با قابلیت داده برداری اتوماتیک و آزمایش انواع محفظه شده، بعد از ایجاد آزمایشگاه مورد نظر، کلیه تجهیزات الکترونیکی مورد استفاده به صورت استاندارد کالیبره شدند. پس از حصول اطمینان از عملکرد صحیح تک تک تجهیزات مورد استفاده آزمایش های آکوستیکی گستردگی انجام شد. در اولین سری از این آزمایش ها، امکان مشاهده مدهای آکوستیکی حاکم در هندسه های

اتاق آکوستیک
یک اتاق آکوستیک مناسب باید حتی امکان تأثیرات انعکاس های صوتی محیط را بر میدان آکوستیکی محفظه کاهش دهد و سطوح اتاق همانند چاهه ای آکوستیکی در بازه ای فرکانسی مورد نظر عمل کنند. همچنین باید از نشر صوت به خارج از اتاق، و نیز متقابلاً از وارد شدن هرگونه صوت خارجی به داخل آن جلوگیری شود. در کنار این اتاق آکوستیکی، یک اتاق فرمان تعبیه شده که بدون حضور فرد محقق و تجهیزات جانبی غیر ضروری در اتاق آکوستیکی، مشاهده رفتار سیستم ها را در حین انجام تجربه امکان پذیر می سازد.

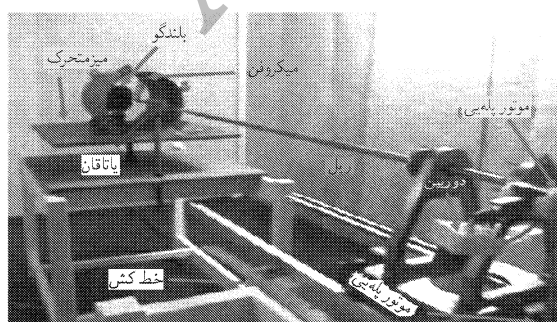
ساختار دیوارهای اتاق آکوستیکی به گونه ای طراحی شده اند که بتوانند سطح امواج صوتی با طیف فرکانسی ۲۰۰ الی ۵۰۰ هرتز را به اندازه های ۲۰ دسی بل در داخل اتاق، و به اندازه های ۴۰ دسی بل در خارج اتاق کاهش دهند. میز نگه دارنده محفظه ای احتراق و سازوکار حرکتی سه بعدی میکروفون متحرک به همراه بلندگوی تولید صوت، و



شکل ۴. طرح شماتیک ذهنه ای اتصال اجزء سیستم داده‌برداری.

سیستم داده‌برداری مناسب لازم است. برای این منظور، یک سیستم داده‌برداری مطابق شکل ۴ تهیه شده که اجزایی با ویژگی‌های زیر دارد: میکروفون با دقت ± 2 دسی بل با محدوده کاری 60 الی 140 دسی بل در طیف فرکانسی 13 الی 20 کیلوهرتز، پری‌آمپلی فایر، آمپلی فایر با گین متغیر، ترمینال BOX، نرم افزار Labview، کارت داده‌برداری A/D با هشت کانال آنالوگ ورودی که از قابلیت داده‌برداری با فرکانس 20 کیلوهرتز برای هر کانال به طور هم زمان برخوردار است. کالیبراسیون میکروفون‌ها، پری‌آمپلی فایرها مریبوه و آمپلی فایر توسعه نمایندگی ذی صلاح انجام شد.

سیستم حرکتی میکروفون و نگهدارنده محفظه
برای به دست آوردن شکل امواج محوری، مماسی و شعاعی لازم است میکروفون در این امتدادها به صورت پیوسته حرکت کند و به طور هم زمان داده‌برداری صورت گیرد. برای این منظور مطابق شکل ۵، سازوکاری متشکل از سیستم حرکتی میکروفون و سیستم نگهدارنده محفظه طراحی و ساخته شده است. سیستم حرکتی میکروفون از یک استپر موتور با دقت حرکت $1/4$ میلی‌متر بر ثانیه در راستای محوری و یک استپر موتور با دقت حرکت 5 درجه بر ثانیه در راستای زویه‌بی و امکان حرکت در راستای شعاعی با دقت 2 سانتی‌متر به صورت دستی، به همراه کنترل کننده استپر موتورها تشکیل شده است.



شکل ۵. سیستم حرکتی میکروفون و میزگهدارنده محفظه.

میکروفون‌های نصب شده بر محفظه ای احتراق در وسط اتاق آکوستیکی قرار گرفته است. اتصالات لازم به منظور تحریک بلندگو و داده‌برداری از مجرای مناسب با عایق آکوستیکی از اتاق آکوستیک به اتاق فرمان آورده شده است. حرکت میکروفون در زمان تولید صوت و داده‌برداری به وسیله‌ی دو دوربین مدار بسته در اتاق فرمان کنترل می‌شوند. کلیه تجهیزات مورد نیاز برای کنترل تولید صوت شامل مولد عالم، ریانه و سیستم داده‌برداری در اتاق فرمان مستقرند.

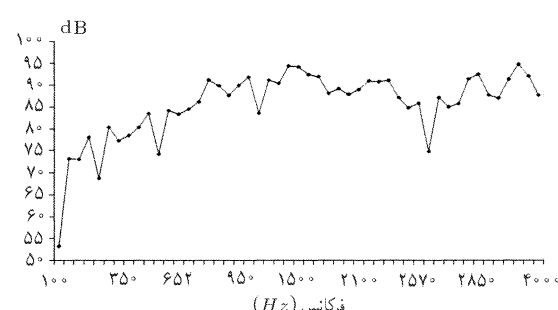
سیستم تولید صوت

فرایند احتراق در نزدیکی صفحه‌ی انژکتور موتور به عنوان منبع تولید کننده‌ی صوت باعث تولید صوت‌هایی با دامنه‌ی زیاد و طیف فرکانسی گسترده می‌شود. برای مدل کردن این چشمی صوتی از یک بلندگو به عنوان منبع صوتی و با قابلیت تولید سطح صوت بالا و طیف فرکانسی گسترده که به صورت محوری بر روی محفظه ای احتراق نصب شده استفاده می‌شود (شکل ۲). سیستم تولید صوت شامل مولد عالم، آمپلی فایر، مولتی‌متر، اسیلوسکوپ و نوع بلندگو است. بلندگوهای مورد استفاده باید از دو ویژگی توان تولید سطح صوت 140 دسی بل و حداکثر نوسان 4 دسی بل در طیف فرکانسی برخوردار باشند. به دلیل اینکه بلندگوهای قابل دسترس در داخل کشور مشخصات فنی معتبری ندارند، عملکرد بلندگوها در محدوده فرکانسی مورد نظر می‌باشد مشخص شود. مثلاً مشخصات یک بلندگوی 8 اهم، 25 وات، و به قطر 130 میلی‌متر در شکل ۳ آراسته شده است.

با توجه به نمودار فوق، علی‌رغم وجود نوسان زیاد سطح صوت در طیف فرکانسی، این تغییرات در طیف فرکانسی مورد نظر به صورت تدریجی است؛ لذا می‌توان از این بلندگو در آزمایشگاه استفاده کرد.

سیستم داده‌برداری

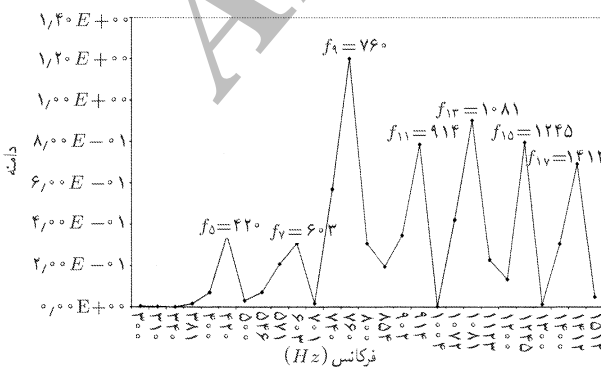
چنانچه در شکل ۲ مشاهده می‌شود، یک بلندگو باعث تولید و تحریک نوسانات فشاری در محفظه ای احتراق می‌شود. برای مشخص کردن ساختار آکوستیکی امواج داخل محفظه به کمک این نوسانات، یک



شکل ۶. نمودار مشخصه‌ی بلندگو 8 اهم، 25 وات، قطر 130 میلی‌متر.

امکان پذیر است. در این حالت میکروفون اندازه‌گیری از یک سوراخ کوچک در وسط صفحه‌ی مسدودکننده انتهای لوله به داخل هدایت می‌شود. در حالت یکسر باز ته لوله بازگذاشته شده و میله‌ی میکروفون از مرکز لوله به داخل هدایت می‌شود. در معادلات نظری شرط مرزی یکسر باز با مسالی صفر قرار دادن نوسانات فشار در انتهای لوله (مرز خروجی) اعمال می‌شود؛ درصورتی که این شرط در آزمایشگاه عالمابا فاصله‌ی معینی از انتهای لوله ممکن می‌شود و سطح صوت تدریجاً در خارج از لوله کاهش می‌یابد. بهمین دلیل فرکانس‌های تشیده حاصل از آزمایش با استفاده از طول معادل لوله با نتایج نظری قبل مقایسه‌اند. رابطه‌ی نظری برای هارمونی n ام محوری یک لوله‌ی یکسر بلندگو-یکسر باز $L/D = nC/4L$ است. برای مقایسه با نتایج تجربی باید از طول معادل $L_{eff} = L + 0.3D$ در معادله‌ی فوق استفاده شود.^[7] این تصحیح برای لوله‌های $L/D > 1$ ناچیز و بی‌اهمیت است، ولی برای لوله‌های $L/D \leq 1$ تأثیر قابل توجهی بر مقدار فرکانس‌های تشیده محوری خواهد داشت. با توجه به نکات فوق لوله‌ی مذکور را در حالت یکسر بلندگو-یکسر باز در محدوده‌ی گسترده‌ی از فرکانس‌های تشیده مورد آزمایش قرار می‌دهیم. برای این منظور با استفاده از مولید کشن طیف فرکانس‌ها را در لوله ایجاد کرده، با میکروفونی که در وسط لوله ثابت قرار گرفته داده‌های حاصله به صورت تجربی به دست لوله با گرفتن FFT از داده‌های حاصله به دست آمده انتساب خوبی با رابطه‌ی می‌آید (شکل ۷). فرکانس‌های به دست آمده انتساب خوبی با رابطه‌ی نظری $f_n = nC/4L_{eff}$ برای هارمونی‌های لوله‌ی یکسر بسته-یکسر باز دارند. توجه داشته باشید که برای لوله‌ی یکسر بلندگو-یکسر باز فقط هارمونی‌های فرد امکان پذیرند.

چنان که قبلاً گفته شده، مدل آکوستیکی محفظه احتراق شامل محفظه‌ی استوانه‌ی با $L/D = 1$ و بخش همگرای نازل است (شکل ۲). در شرایط سرد و بدون جریان داخل محفظه تعیین دقیق شرایط مرزی آکوستیکی در مرز خروجی از نازل همگرا امکان پذیر نیست. در تحلیل



شکل ۷. فرکانس‌های حاکم بر لوله به طول ۱۵۰ سانتی‌متر در حالت یکسر بلندگو-یکسر باز.

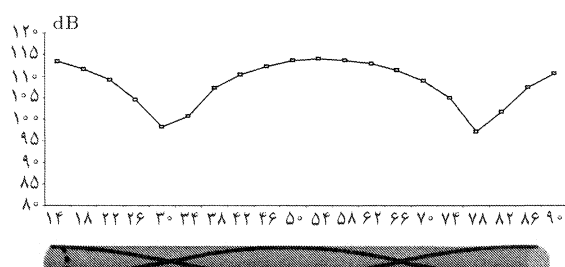
نتایج تجزیی

ابتدا مشخصات آکوستیکی یک لوله با نسبت طول به قطر زیاد ($L/D > 1$)، با شرایط مرزی سریسته و سر باز را به دست آورده و بعد از حصول اطمینان از صحت داده‌برداری، لوله‌های $L/D \sim 1$ مطابق هندسه‌ی محفظه احتراق، آزمایش شدند. نتایج حاصل در این بعد هندسه‌ی با نتایج لوله‌های L/D متفاوت بود و پذیده‌ی دگرگونی شکل موج ایستا مشاهده شد. شناسایی علل تخریب شکل امواج در هارمونی‌های حاکم بر لوله‌های $L/D \sim 1$ با روش‌های تجزیی در این میدان آکوستیکی درون محفظه‌های استوانه‌ی با دقت مطالعه شدند. پس از شناسایی نسبی پذیده‌ی دگرگونی شکل تحلیلی برای بررسی میدان آکوستیکی درون محفظه‌های استوانه‌ی با دقت مطالعه شدند. پس از شناسایی نسبی پذیده‌ی دگرگونی شکل تجزیی برای بررسی میدان آکوستیکی درون محفظه‌های استوانه‌ی با دقت مطالعه شدند. پس از شناسایی نسبی پذیده‌ی دگرگونی شکل تجزیی برای بررسی میدان آکوستیکی محفوظه احتراق تعیین شد. در ادامه مطالعات فوق به تفصیل شرح داده خواهد شد.

لوله‌ی استوانه‌ی با $L/D > 1$

هدف از انجام این آزمایش‌ها مقایسه‌ی نتایج تجزیی با روابط نظری موجود، به‌منظور حصول اطمینان از صحت عملکرد این روش‌های تولید، ثبت مشخصات آکوستیکی، و نیز تعیین میزان وابستگی مشخصات آکوستیکی به نوع بلندگو است. برای این منظور از یک لوله استوانه‌ی به طول ۱۰۰ سانتی‌متر و قطر ۶/۳۵ سانتی‌متر استفاده شده است. لوله در حالت‌های یکسر بلندگو- یکسر بسته، و یکسر بلندگو- یکسر باز مورد آزمایش قرار گرفت. در حالت یکسر بلندگو- یکسر بسته، لوله را در فرکانس‌های مختلف به کمک بلندگو تحریک می‌کنیم. فرکانس هارمونی n ام امواج محوری لوله‌های سریست، f_n ، از رابطه‌ی $f_n = nC/2L$ حاصل می‌شود. در این رابطه C سرعت صوت و L طول لوله است. در شکل ۶ نتایج تجزیی به دست آمده با ساختار نظری امواج ایستا در لوله مقایسه شده است. سرعت صوت در هوا با درجه حرارت ۲۵ درجه سانتی‌گراد معادل ۳۴۰ متر بر ثانیه است.

اجرای شرط مرزی یکسر بسته با مسدود کردن انتهای لوله مدل



شکل ۶. مقایسه‌ی شکل مد دوم موج در لوله‌ی یکسر بلندگو- یکسر بسته با ساختار نظری موج ایستا.

در این آزمایشات پدیده‌ی دگرگونی موج مشاهده شد. این پدیده از یک فرکانس خاص با کج کردن شکل موج ظاهر شده و در فرکانس‌های بالاتر کاملاً شکل ایستای مورد انتظار را دگرگون می‌کند. برای بررسی علل این پدیده و مشخص کردن میزان وابستگی آن به مشخصات هندسی لوله، آزمایش‌های زیر انجام شد. ابتدا شکل امواج در لوله‌یی به طول ۴۰ سانتی‌متر و قطر ۳/۵ سانتی‌متر بررسی شد، ساختار هارمونیک امواج ایستاده تا فرکانس ۳۰۰۰ هرتز به خوبی حفظ شده و هیچیک از علائم پدیده‌ی دگرگونی شکل موج ظاهر نشد (شکل ۸).

در آزمایش بعدی، لوله‌یی به طول ۴۰ سانتی‌متر و قطر ۱۳ سانتی‌متر در حالت یکسر بلندگو-یکسر باز مورد آزمایش قرار گرفت. امواج ایستا شکل هارمونیک خود را تا فرکانس ۱۵۳۶ هرتز حفظ کردند، ولی افزایش فرکانس باعث دگرگونی شکل موج ایستا می‌شود. شکل ۹ داشتن می‌دهد که در فرکانس ۲۰۰۰ هرتز در فاصله‌ی کوتاهی از بلندگو سطح صوت به شدت افت کرده و پس از یک افزایش سریع کم‌بیش در یک سطح ثابت تا مقطع خروجی لوله باقی می‌ماند.

ابتدا میزان تأثیر سطح توان تحریک بلندگو در بروز پدیده‌ی تخریب شکل موج مورد بررسی قرار گرفت. در این راستا میزان توان اعمالی تحریک بلندگو از ۱۰ وات به ۵۰ وات تقلیل داده شد. مشاهده شد که شکل موج و فرکانس بروز پدیده‌ی دگرگونی دقیقاً مشابه شرایط بلندگو با وات بالا است و سطح توان اعمالی به بلندگو تأثیری بر تخریب شکل موج ندارد. میزان تأثیر اندازه قطر بلندگو نیز بررسی شد و تغییری در فرکانس آستانه‌ی شروع یا شکل دگرگونی موج مشاهده نشد.

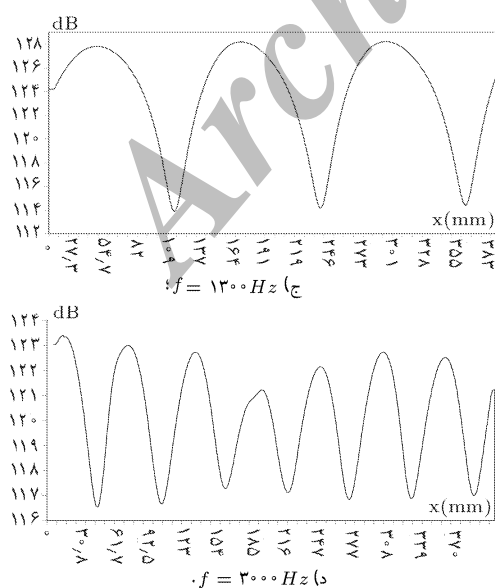
برای بررسی میزان وابستگی این پدیده به طول لوله، لوله‌هایی با قطر ثابت ۱۳ سانتی‌متر و با طول‌های متفاوت تحت آزمایش قرار گرفتند.

محفظه‌های مورد نظر بعضی از محققین^[۸] به علت عدم امکان نفوذ امواج آکوستیکی از پایین دست به بالا دست شرط مرزی دیواره‌ی صلب را در این مرز به کار برده‌اند. نوسانات سرعت روی دیواره‌ی صلب صفر شده و در نتیجه گرادیان نوسانات فشار در این مرز باید معادل صفر باشد. در مراجع دیگر شرط صفر شدن نوسانات فشار، یعنی مرز باز ملحق به یک منبع بی نهایت پیشنهاد شده است.^[۷] شرایط فوق در آزمایشگاه باسته یا باز کردن انتهای مدل محفوظه قابل دسترسی‌اند. در تحقیقات فعلی شرط مرزی یکسر باز محفوظه‌ی احتراق مورد مطالعه قرار گرفته است.

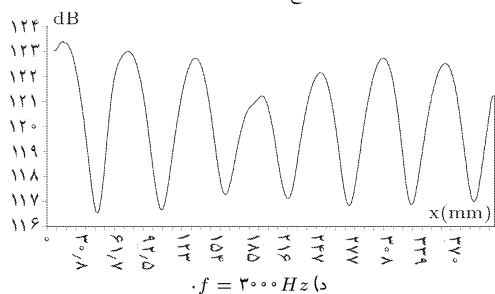
لوله‌های استوانه‌یی L/D~۱ و پدیده‌ی دگرگونی

شکل امواج

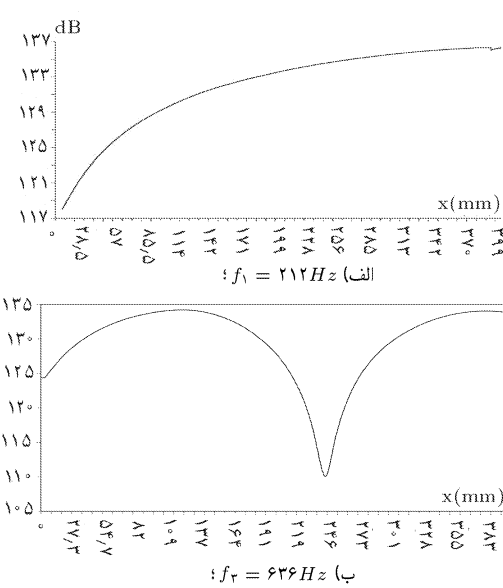
پیش از این گفته شد که محفوظه‌های احتراق مورد نظر، بدون احتساب قسمت همگرای نازل، لوله‌های استوانه‌یی شکل L/D~۱ هستند. امواج آکوستیکی در لوله‌های استوانه‌یی از ساختاری ایستا شامل نقاط گره (حداکثر نوسانات) و شکم (حداکثر نوسانات) برخوردارند. این ساختار امواج درون لوله به شرط آنکه طول موج، λ ، در فرکانس تحریک خیلی بیش از قطر لوله باشد امکان‌پذیر است.^[۷] نسبت دقیق طول موج به قطر لوله برای ایجاد ساختار هارمونیک شکم-گره و چگونگی تغییر شکل ساختار امواج در صورت عدم وجود شرط فوق مشخص نیست. برای پاسخ به سوالات فوق، بعد از بررسی لوله‌های L/D~۱ >> L/D و حصول اطمینان از صحت عملکرد سیستم و روش تجربی، لوله‌هایی در ابعاد L/D~۱ در شرایط یکسر بلندگو-یکسر باز مورد آزمایش قرار گرفتند.



(ج) $f = 1300 \text{ Hz}$

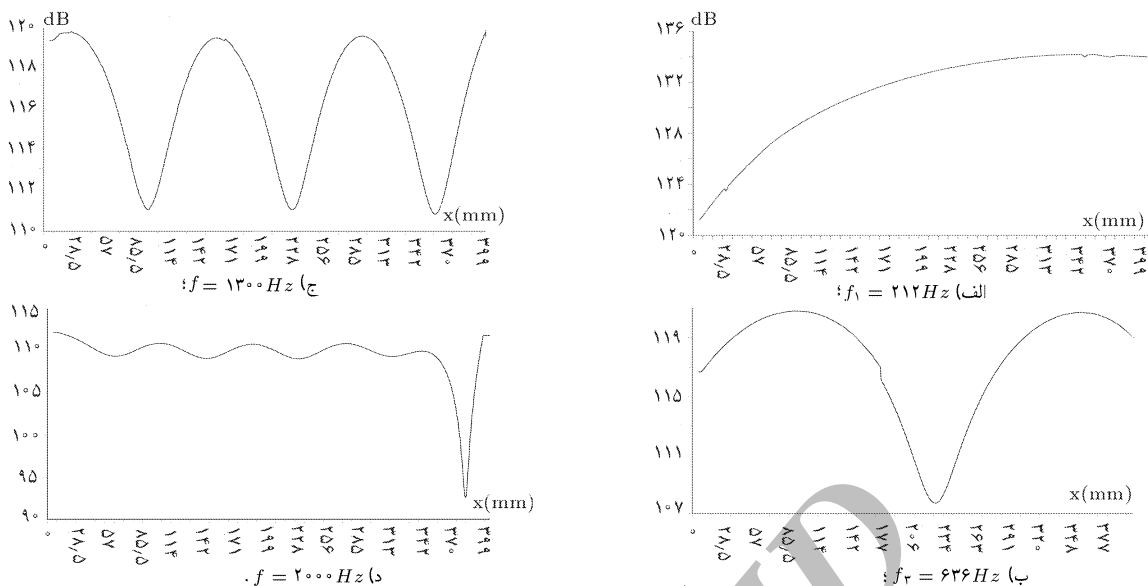


(د) $f = 2000 \text{ Hz}$



(ب) $f_2 = 626 \text{ Hz}$

شکل ۸. شکل امواج ایستا در لوله‌یی به طول ۴۰ سانتی‌متر و قطر ۱۳ سانتی‌متر.



شکل ۹. شکل امواج در لوله‌یی به طول ۴۰ سانتی‌متر و قطر ۱۳ سانتی‌متر.

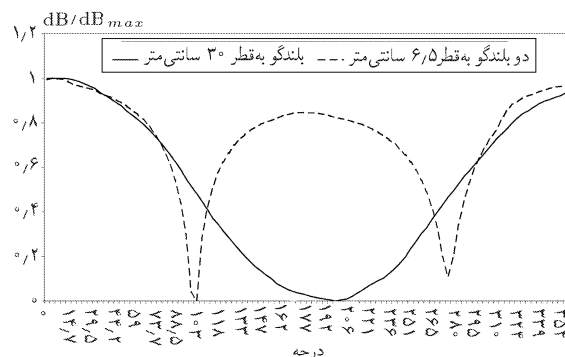
همانطورکه مشاهده می‌شود فرکانس آستانه‌ی شروع پدیده دگرگونی موج (f_d) در تمام لوله‌های با قطر ۱۳ سانتی‌متر ثابت است و تغییرات طول لوله از ۴۰ سانتی‌متر تا $12/3$ سانتی‌متر هیچ تأثیری بر فرکانس آستانه‌ی دگرگونی موج نداشته است. مهم‌تر این که نسبت طول موج متناسب با فرکانس آستانه‌ی شروع دگرگونی موج به قطر لوله (D/λ_d), در تمام آزمایش‌های انجام شده ثابت و مساوی $1/7$ است. با استفاده از این مشاهدات تجربی می‌توان پیش‌بینی کرد که پدیده‌ی تخریب و دگرگونی موج همیشه در فرکانس $f_d = C/(1/7D)$ پدیدار می‌شود. این پدیده در لوله‌های با قطر بزرگ مانع تشکیل امواج محوری با ساختار هارمونیک شده و تخریب شکل موج خود را از مد اول محوری نشان می‌دهد. قابل ذکر است که رفتار دگرگونی شکل موج در شعاع‌های مختلف کمی متفاوت است، به‌نحوی که در محور استوانه این تخریب شدید بوده و در نزدیک دیواره‌ی استوانه رفتار تخریبی کمتر مشاهده می‌شود.

پس از انجام آزمایشات فوق برای تعیین میزان تأثیر قطر لوله در بروز پدیده‌ی دگرگونی شکل موج یک لوله‌ی استوانه‌یی به طول ۴۷ سانتی‌متر و قطر ۳۰ سانتی‌متر، و نیز یک لوله‌ی استوانه‌یی به طول ۵۰ سانتی‌متر و قطر ۵۷ سانتی‌متر نیز آزمایش قرار داده شدند. که اطلاعات به دست آمده در جدول ۱ آرائه شده است: در ستون اول جدول مشخصات هندسی لوله، در ستون دوم نسبت طول به قطر لوله (L/D)، در ستون سوم طول معادل لوله‌ی یکسر باز (L_{eff})، در ستون چهارم فرکانس مد اول محوری (f_1)، در ستون پنجم نسبت طول موج مد اول محوری به قطر لوله (λ_1/D)، در ستون ششم فرکانس آستانه‌ی شروع دگرگونی شکل موج (f_d)، که از آزمایش‌ها حاصل شده‌اند، در ستون هفتم نسبت طول موج آستانه‌ی شروع دگرگونی به قطر لوله (λ_d/D)، در ستون هشتم فرکانس بالاترین مد محوری بدون دگرگونی (f_n)، و در ستون آخر نسبت طول موج مد n به قطر لوله (λ_n/D)، ثبت شده است.

جدول ۱. تأثیر طول و قطر لوله بر فرکانس آستانه‌ی شروع دگرگونی شکل موج.

λ_n/D	n, f_n	λ_d/D	f_d	λ_1/D	f_1	L_{eff}	L/D	هندسه
۱/۷۶	۱۵, ۳۰۴۳	۱/۷	۳۱۵۰	۲۶/۴	۲۰۳	۰,۴۱۹	۶/۳	$L=۴۰\text{cm}, D=۶/۳\text{cm}$
۱/۹۳	۷, ۱۳۵۵	۱/۷	۱۵۳۸	۱۳/۵	۲۰۲	۰,۴۳۹	۳/۱	$L=۴۰\text{cm}, D=۱۳\text{cm}$
۲/۰۹	۵, ۱۲۵۳	۱/۷	۱۵۳۸	۱۰/۴	۲۵۰	۰,۳۳۹	۲/۳	$L=۳۰\text{cm}, D=۱۳\text{cm}$
۱/۷۸	۵, ۱۴۷۰	۱/۷	۱۵۳۸	۸/۹	۲۹۴	۰,۲۸۹	۱/۹	$L=۲۵\text{cm}, D=۱۳\text{cm}$
۵/۰	۱, ۵۲۴	۱/۷	۱۵۳۸	۵	۵۲۴	۰,۱۶۲	۰/۹۵	$L=۱۲/۳\text{cm}, D=۱۳\text{cm}$
۲/۴۹	۳, ۴۵۵	۱/۷	۶۶۶	۷/۵	۱۵۲	۰,۵۶	۱/۵۷	$L=۴۷\text{cm}, D=۳۰\text{cm}$
۴/۷	۱, ۱۲۷	۱/۷	۳۵۱	۴/۷	۱۲۷	۰,۶۷۱	۰/۸۸	$L=۵۰\text{cm}, D=۵۷\text{cm}$

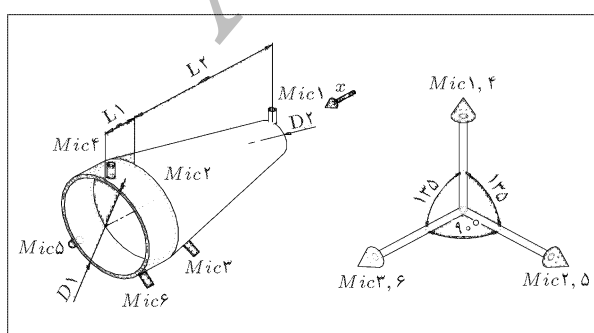
$$f_n = nC/4L_{eff}, L_{eff} = L + \pi/3D, \lambda = C/f$$



شکل ۱۰. مقایسه نتایج تجربی سطح صوت (بدون بندگو) در انتهای لوله آزادیکی بندگو در فرکانس ۶۴۴ هرتز، مدد اول مماسی.

بندگو و ۱۳ سانتی‌متر از محور استوانه، با حرکت در جهت عقربه‌ی ساعت از ساعت ۱۲ در فواصل ۶ درجه است.

نتایج آزمایش‌های محفظه‌ی احتراق و نازل همگرا
همانطورکه قبلاً اشاره شد برای محفظه‌های احتراقی که طول آن‌ها مساوی یا کوچکتر از قطرشان است، می‌باشد خواص اکوستیکی مجموعه محفظه‌ی احتراق و قسمت همگرای نازل به طور یکپارچه بررسی شود. شکل و ابعاد هندسی محفظه‌ی استفاده شده در تجربیات آزمایشگاهی در شکل ۱۱ نشان داده شده است. این محفظه از الحقیقی که لوله‌ی استوانه‌ی به طول ۱۵ سانتی‌متر و قطر ۳۵ سانتی‌متر به یک لوله‌ی مخروطی به طول ۴۷ سانتی‌متر با گلوبالی به قطر ۱۰ سانتی‌متر تشکیل شده است. اندازگیری زمانی سطح صوت در نقاط مختلف محفظه توسط سه میکروفون ثابت که بر روی دیواره‌ی محفظه نصب شده‌اند و میکروفونی که توپانایی حرکت در راستای محور را دارد، به طور همزمان انجام می‌شود. فرکانس‌های تشدید محوری حاکم در محفظه با ثابت قرار دادن میکروفون محوری در نزدیکی بندگو، تحریک بندگو در طی فرکانسی، و ثبت سطح صوت در تمامی کانال‌ها حاصل می‌شود. شکل ۱۲ فرکانس‌های تشدید اندازگیری شده در محفظه را نشان می‌دهد، و در جدول ۲ نیز مقایسه نتایج تجربی فوق با نتایج حاصل از رابطه‌ی



شکل ۱۱. شکل و ابعاد هندسی محفظه‌ی احتراق و محل نصب میکروفون‌ها.

روش‌های فعالی مطالعه‌ی نایابداری محفظه‌ی احتراق موتورهای سوخت مایع^[۱] دو ناحیه اصلی، شامل محفظه احتراق و نازل همگرا، را به طور مجزا در نظر گرفته و سپس در مرز آنها از شرط تساوی امپدانس صوتی استفاده می‌کنند. مشاهدات تجربی فوق نشان می‌دهد که این روش برای محفظه‌های با $L/D > 1$ قابل قبول است ولی برای محفظه‌های با $L/D \sim 1$ مدل کردن آکوستیکی محفظه‌ی احتراق بدون در نظر گرفتن قسمت همگرای نازل امکان‌پذیر نیست یک مدل مناسب برای بررسی رفتار موتور در فرکانس‌های بالا باید شامل محفظه‌ی احتراق و قسمت همگرای نازل باشد. قطر گلوبال نازل کوچک‌تر از قطر محفظه بوده و امکان ایجاد امواج محوری ایستای هارمونیک در فرکانس‌های بالا را فراهم می‌کند.

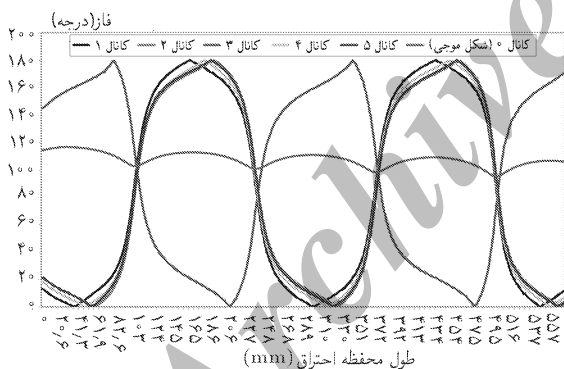
روش تولید امواج عرضی
مطالعه‌ی ساختار امواج ایستای عرضی (مماسی و شعاعی) نیازمند روشی مناسب برای ایجاد این امواج است. آزمایشات اولیه نشان می‌دهد که ایجاد و مشاهده امواج عرضی نسبت به امواج طولی از پیچیدگی‌های بیشتری برخوردار است. در مرحله اول امکان ایجاد امواج عرضی با قراردادن یک بندگو در مرکز صفحه‌ی سطح مقطع در امتداد محور لوله‌ی استوانه‌ی به طول ۴۷ سانتی‌متر و قطر ۳۵ سانتی‌متر در حالت یکسر بندگو-میکسر باز بررسی شد. ابتدا تأثیر قطر بندگو در تحریک امواج عرضی به کمک بندگوهای به قطر ۱۲ و ۲۰ سانتی‌متر بررسی شد. هر دو بندگو در صورت تحریک در فرکانس مدد اول شعاعی، قابلیت ایجاد امواج ایستای مدد اول شعاعی را داشته و نتایج موج مدد اول شعاعی برای دو بندگو کاملاً با یکدیگر و با نتایج نظری منطبق‌اند.^[۱۰]

در صورت تحریک بندگو در فرکانس مدد اول مماسی، بندگو با قطر ۱۲ سانتی‌متر میدان آکوستیکی ضعیف و با انگشت عدم تقارن ولی کم‌بیش منطبق با نتایج نظری تولید می‌کند. ولی بندگوی با قطر ۲۰ سانتی‌متر اصلاً قابلیت تولید صحیح مدد اول مماسی را ندارد. به علت اهمیت امواج مماسی خالص و امواج طولی-مماسی و امکان ایجاد و مشاهده‌ی آنها در داخل محفظه‌ی احتراق، آزمایش‌های گستردگی به منظور دست‌یابی به بهترین روش ایجاد این امواج انجام گرفت که توضیح همه‌ی نتایج از حوصله‌ی این نوشتار خارج است.

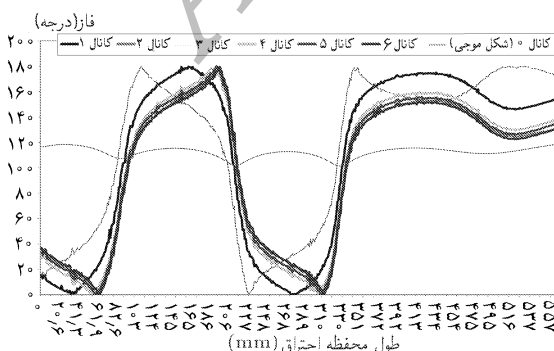
به طور خلاصه باید یادآور شویم که بهترین نحوه برای ایجاد امواج مماسی استفاده از دو بندگو به قطر ۵/۶ سانتی‌متر به طور همزمان، یکی در مرکز و دیگری در پایین یا بالای محور محفظه است. در شکل ۱۵ مقایسه نتایج حاصل از تحریک دو بندگوی ۶/۵ سانتی‌متری همزمان و یک بندگوی ۳۰ سانتی‌متری در مدد اول مماسی نشان داده شده است. جهت حرکت میکروفون نصب شده در فاصله‌ی ۱ سانتی‌متر از

۱۴۰۰ هرتز می‌توان با اندازه‌گیری اختلاف فاز میان شش کانال روزی محفظه احتراق نسبت به کانال متحرک محوری پذیده‌ی تخریب موج را به سادگی مشاهده کرد. موج بعد از هر گره فاز نوسانی خود را به اندازه‌ی ۱۸۵ درجه تغییر می‌دهد (شکل ۱۳). با استفاده از تعیین اختلاف فاز در شکل موج می‌توان فرکانس تخریب شکل موج را مشخص کرد. موج در فرکانس ۱۴۳۰ هرتز شکل هارمونی خود را از دست داده است (شکل ۱۴)؛ در نتیجه می‌توان گفت که گرچه در شکل ۱۲ برای فرکانس‌های بیشتر از ۱۴۰۰ هرتز قله‌های تشدید آکوستیکی ملاحظه شده است، ولی این قله‌ها با ساختار ایستای امواج آکوستیکی در داخل محفظه همراه نیست و توزیع سطح صوت در داخل محفظه شبیه به توزیع ارله شده در شکل ۹ است و قابلیت همگرایی با فرکانس‌های حاکم بر فرآیند احتراق را تغواهند داشت.

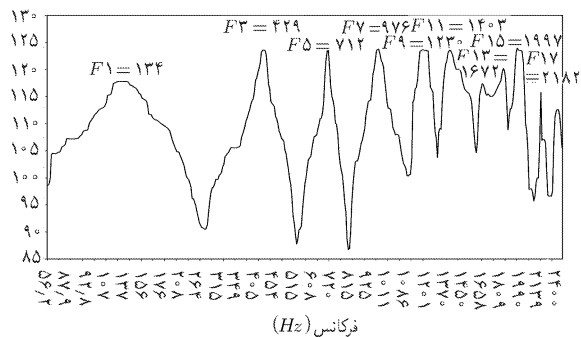
بر اثر مخروطی شدن استوانه فرکانس امواج مماسی افزایش می‌یابد و نیز شکل امواج مماسی تنها در قسمت استوانه‌ی خود را نشان می‌دهند. به بیان دقیق‌تر بخش مخروطی باعث محدود کردن دامنه‌ی تغییرات امواج مماسی در ناحیه‌ی محفظه احتراق می‌شود. از طرفی مشاهده می‌شود که شکل محفوظه احتراق تأثیری در شکل و محل بیشینه‌ی دامنه‌ی موج نداشته و فقط در مد اول مماسی باعث تغییر فاز ۱۸۵ درجه نسبت به لوله‌ی استوانه‌ی شده است.



شکل ۱۳. نحوه تغییر اختلاف فاز موج در فرکانس ۱۳۳۶ هرتز.



شکل ۱۴. نحوه تغییر اختلاف فاز موج در فرکانس ۱۴۳۰ هرتز.



شکل ۱۲. فرکانس‌های تشدید در محفظه احتراق.

متسط (Average) $D_{ave} = (L_1 D_1 + L_2 D_2) / (L_1 + L_2)$ است، از این متوسط مشاهده می‌شود که روابط پارامتریک فوق برای محاسبه‌ی فرکانس مدهای معوری هارمونیک ۱، ۳، ۵، ۷، ۹، ۱۱، ۱۳، ۱۵، ۱۷، ۱۹، ۲۱، ۲۳، ۲۵، ۲۷، ۲۹، ۳۱، ۳۳، ۳۵، ۳۷، ۳۹، ۴۱، ۴۳، ۴۵، ۴۷، ۴۹، ۵۱، ۵۳، ۵۵، ۵۷، ۵۹، ۶۱، ۶۳، ۶۵، ۶۷، ۶۹، ۷۱، ۷۳، ۷۵، ۷۷، ۷۹، ۸۱، ۸۳، ۸۵، ۸۷، ۸۹، ۹۱، ۹۳، ۹۵، ۹۷، ۹۹، ۱۰۱، ۱۰۳، ۱۰۵، ۱۰۷، ۱۰۹، ۱۱۱، ۱۱۳، ۱۱۵، ۱۱۷، ۱۱۹، ۱۲۱، ۱۲۳، ۱۲۵، ۱۲۷، ۱۲۹، ۱۳۱، ۱۳۳، ۱۳۵، ۱۳۷، ۱۳۹، ۱۴۱، ۱۴۳، ۱۴۵، ۱۴۷، ۱۴۹، ۱۵۱، ۱۵۳، ۱۵۵، ۱۵۷، ۱۵۹، ۱۶۱، ۱۶۳، ۱۶۵، ۱۶۷، ۱۶۹، ۱۷۱، ۱۷۳، ۱۷۵، ۱۷۷، ۱۷۹، ۱۸۱، ۱۸۳، ۱۸۵، ۱۸۷، ۱۸۹، ۱۹۱، ۱۹۳، ۱۹۵، ۱۹۷، ۱۹۹، ۲۰۱، ۲۰۳، ۲۰۵، ۲۰۷، ۲۰۹، ۲۱۱، ۲۱۳، ۲۱۵، ۲۱۷، ۲۱۹، ۲۲۱، ۲۲۳، ۲۲۵، ۲۲۷، ۲۲۹، ۲۳۱، ۲۳۳، ۲۳۵، ۲۳۷، ۲۳۹، ۲۴۱، ۲۴۳، ۲۴۵، ۲۴۷، ۲۴۹، ۲۵۱، ۲۵۳، ۲۵۵، ۲۵۷، ۲۵۹، ۲۶۱، ۲۶۳، ۲۶۵، ۲۶۷، ۲۶۹، ۲۷۱، ۲۷۳، ۲۷۵، ۲۷۷، ۲۷۹، ۲۸۱، ۲۸۳، ۲۸۵، ۲۸۷، ۲۸۹، ۲۹۱، ۲۹۳، ۲۹۵، ۲۹۷، ۲۹۹، ۳۰۱، ۳۰۳، ۳۰۵، ۳۰۷، ۳۰۹، ۳۱۱، ۳۱۳، ۳۱۵، ۳۱۷، ۳۱۹، ۳۲۱، ۳۲۳، ۳۲۵، ۳۲۷، ۳۲۹، ۳۳۱، ۳۳۳، ۳۳۵، ۳۳۷، ۳۳۹، ۳۴۱، ۳۴۳، ۳۴۵، ۳۴۷، ۳۴۹، ۳۵۱، ۳۵۳، ۳۵۵، ۳۵۷، ۳۵۹، ۳۶۱، ۳۶۳، ۳۶۵، ۳۶۷، ۳۶۹، ۳۷۱، ۳۷۳، ۳۷۵، ۳۷۷، ۳۷۹، ۳۸۱، ۳۸۳، ۳۸۵، ۳۸۷، ۳۸۹، ۳۹۱، ۳۹۳، ۳۹۵، ۳۹۷، ۳۹۹، ۴۰۱، ۴۰۳، ۴۰۵، ۴۰۷، ۴۰۹، ۴۱۱، ۴۱۳، ۴۱۵، ۴۱۷، ۴۱۹، ۴۲۱، ۴۲۳، ۴۲۵، ۴۲۷، ۴۲۹، ۴۳۱، ۴۳۳، ۴۳۵، ۴۳۷، ۴۳۹، ۴۴۱، ۴۴۳، ۴۴۵، ۴۴۷، ۴۴۹، ۴۵۱، ۴۵۳، ۴۵۵، ۴۵۷، ۴۵۹، ۴۶۱، ۴۶۳، ۴۶۵، ۴۶۷، ۴۶۹، ۴۷۱، ۴۷۳، ۴۷۵، ۴۷۷، ۴۷۹، ۴۸۱، ۴۸۳، ۴۸۵، ۴۸۷، ۴۸۹، ۴۹۱، ۴۹۳، ۴۹۵، ۴۹۷، ۴۹۹، ۵۰۱، ۵۰۳، ۵۰۵، ۵۰۷، ۵۰۹، ۵۱۱، ۵۱۳، ۵۱۵، ۵۱۷، ۵۱۹، ۵۲۱، ۵۲۳، ۵۲۵، ۵۲۷، ۵۲۹، ۵۳۱، ۵۳۳، ۵۳۵، ۵۳۷، ۵۳۹، ۵۴۱، ۵۴۳، ۵۴۵، ۵۴۷، ۵۴۹، ۵۵۱، ۵۵۳، ۵۵۵، ۵۵۷، ۵۵۹، ۵۶۱، ۵۶۳، ۵۶۵، ۵۶۷، ۵۶۹، ۵۷۱، ۵۷۳، ۵۷۵، ۵۷۷، ۵۷۹، ۵۸۱، ۵۸۳، ۵۸۵، ۵۸۷، ۵۸۹، ۵۹۱، ۵۹۳، ۵۹۵، ۵۹۷، ۵۹۹، ۶۰۱، ۶۰۳، ۶۰۵، ۶۰۷، ۶۰۹، ۶۱۱، ۶۱۳، ۶۱۵، ۶۱۷، ۶۱۹، ۶۲۱، ۶۲۳، ۶۲۵، ۶۲۷، ۶۲۹، ۶۳۱، ۶۳۳، ۶۳۵، ۶۳۷، ۶۳۹، ۶۴۱، ۶۴۳، ۶۴۵، ۶۴۷، ۶۴۹، ۶۵۱، ۶۵۳، ۶۵۵، ۶۵۷، ۶۵۹، ۶۶۱، ۶۶۳، ۶۶۵، ۶۶۷، ۶۶۹، ۶۷۱، ۶۷۳، ۶۷۵، ۶۷۷، ۶۷۹، ۶۸۱، ۶۸۳، ۶۸۵، ۶۸۷، ۶۸۹، ۶۹۱، ۶۹۳، ۶۹۵، ۶۹۷، ۶۹۹، ۷۰۱، ۷۰۳، ۷۰۵، ۷۰۷، ۷۰۹، ۷۱۱، ۷۱۳، ۷۱۵، ۷۱۷، ۷۱۹، ۷۲۱، ۷۲۳، ۷۲۵، ۷۲۷، ۷۲۹، ۷۳۱، ۷۳۳، ۷۳۵، ۷۳۷، ۷۳۹، ۷۴۱، ۷۴۳، ۷۴۵، ۷۴۷، ۷۴۹، ۷۵۱، ۷۵۳، ۷۵۵، ۷۵۷، ۷۵۹، ۷۶۱، ۷۶۳، ۷۶۵، ۷۶۷، ۷۶۹، ۷۷۱، ۷۷۳، ۷۷۵، ۷۷۷، ۷۷۹، ۷۸۱، ۷۸۳، ۷۸۵، ۷۸۷، ۷۸۹، ۷۹۱، ۷۹۳، ۷۹۵، ۷۹۷، ۷۹۹، ۸۰۱، ۸۰۳، ۸۰۵، ۸۰۷، ۸۰۹، ۸۱۱، ۸۱۳، ۸۱۵، ۸۱۷، ۸۱۹، ۸۲۱، ۸۲۳، ۸۲۵، ۸۲۷، ۸۲۹، ۸۳۱، ۸۳۳، ۸۳۵، ۸۳۷، ۸۳۹، ۸۴۱، ۸۴۳، ۸۴۵، ۸۴۷، ۸۴۹، ۸۵۱، ۸۵۳، ۸۵۵، ۸۵۷، ۸۵۹، ۸۶۱، ۸۶۳، ۸۶۵، ۸۶۷، ۸۶۹، ۸۷۱، ۸۷۳، ۸۷۵، ۸۷۷، ۸۷۹، ۸۸۱، ۸۸۳، ۸۸۵، ۸۸۷، ۸۸۹، ۸۹۱، ۸۹۳، ۸۹۵، ۸۹۷، ۸۹۹، ۹۰۱، ۹۰۳، ۹۰۵، ۹۰۷، ۹۰۹، ۹۱۱، ۹۱۳، ۹۱۵، ۹۱۷، ۹۱۹، ۹۲۱، ۹۲۳، ۹۲۵، ۹۲۷، ۹۲۹، ۹۳۱، ۹۳۳، ۹۳۵، ۹۳۷، ۹۳۹، ۹۴۱، ۹۴۳، ۹۴۵، ۹۴۷، ۹۴۹، ۹۵۱، ۹۵۳، ۹۵۵، ۹۵۷، ۹۵۹، ۹۶۱، ۹۶۳، ۹۶۵، ۹۶۷، ۹۶۹، ۹۷۱، ۹۷۳، ۹۷۵، ۹۷۷، ۹۷۹، ۹۸۱، ۹۸۳، ۹۸۵، ۹۸۷، ۹۸۹، ۹۹۱، ۹۹۳، ۹۹۵، ۹۹۷، ۹۹۹، ۱۰۰۱، ۱۰۰۳، ۱۰۰۵، ۱۰۰۷، ۱۰۰۹، ۱۰۱۱، ۱۰۱۳، ۱۰۱۵، ۱۰۱۷، ۱۰۱۹، ۱۰۲۱، ۱۰۲۳، ۱۰۲۵، ۱۰۲۷، ۱۰۲۹، ۱۰۳۱، ۱۰۳۳، ۱۰۳۵، ۱۰۳۷، ۱۰۳۹، ۱۰۴۱، ۱۰۴۳، ۱۰۴۵، ۱۰۴۷، ۱۰۴۹، ۱۰۵۱، ۱۰۵۳، ۱۰۵۵، ۱۰۵۷، ۱۰۵۹، ۱۰۶۱، ۱۰۶۳، ۱۰۶۵، ۱۰۶۷، ۱۰۶۹، ۱۰۷۱، ۱۰۷۳، ۱۰۷۵، ۱۰۷۷، ۱۰۷۹، ۱۰۸۱، ۱۰۸۳، ۱۰۸۵، ۱۰۸۷، ۱۰۸۹، ۱۰۹۱، ۱۰۹۳، ۱۰۹۵، ۱۰۹۷، ۱۰۹۹، ۱۱۰۱، ۱۱۰۳، ۱۱۰۵، ۱۱۰۷، ۱۱۰۹، ۱۱۱۱، ۱۱۱۳، ۱۱۱۵، ۱۱۱۷، ۱۱۱۹، ۱۱۲۱، ۱۱۲۳، ۱۱۲۵، ۱۱۲۷، ۱۱۲۹، ۱۱۳۱، ۱۱۳۳، ۱۱۳۵، ۱۱۳۷، ۱۱۳۹، ۱۱۴۱، ۱۱۴۳، ۱۱۴۵، ۱۱۴۷، ۱۱۴۹، ۱۱۵۱، ۱۱۵۳، ۱۱۵۵، ۱۱۵۷، ۱۱۵۹، ۱۱۶۱، ۱۱۶۳، ۱۱۶۵، ۱۱۶۷، ۱۱۶۹، ۱۱۷۱، ۱۱۷۳، ۱۱۷۵، ۱۱۷۷، ۱۱۷۹، ۱۱۸۱، ۱۱۸۳، ۱۱۸۵، ۱۱۸۷، ۱۱۸۹، ۱۱۹۱، ۱۱۹۳، ۱۱۹۵، ۱۱۹۷، ۱۱۹۹، ۱۲۰۱، ۱۲۰۳، ۱۲۰۵، ۱۲۰۷، ۱۲۰۹، ۱۲۱۱، ۱۲۱۳، ۱۲۱۵، ۱۲۱۷، ۱۲۱۹، ۱۲۲۱، ۱۲۲۳، ۱۲۲۵، ۱۲۲۷، ۱۲۲۹، ۱۲۳۱، ۱۲۳۳، ۱۲۳۵، ۱۲۳۷، ۱۲۳۹، ۱۲۴۱، ۱۲۴۳، ۱۲۴۵، ۱۲۴۷، ۱۲۴۹، ۱۲۵۱، ۱۲۵۳، ۱۲۵۵، ۱۲۵۷، ۱۲۵۹، ۱۲۶۱، ۱۲۶۳، ۱۲۶۵، ۱۲۶۷، ۱۲۶۹، ۱۲۷۱، ۱۲۷۳، ۱۲۷۵، ۱۲۷۷، ۱۲۷۹، ۱۲۸۱، ۱۲۸۳، ۱۲۸۵، ۱۲۸۷، ۱۲۸۹، ۱۲۹۱، ۱۲۹۳، ۱۲۹۵، ۱۲۹۷، ۱۲۹۹، ۱۳۰۱، ۱۳۰۳، ۱۳۰۵، ۱۳۰۷، ۱۳۰۹، ۱۳۱۱، ۱۳۱۳، ۱۳۱۵، ۱۳۱۷، ۱۳۱۹، ۱۳۲۱، ۱۳۲۳، ۱۳۲۵، ۱۳۲۷، ۱۳۲۹، ۱۳۳۱، ۱۳۳۳، ۱۳۳۵، ۱۳۳۷، ۱۳۳۹، ۱۳۴۱، ۱۳۴۳، ۱۳۴۵، ۱۳۴۷، ۱۳۴۹، ۱۳۵۱، ۱۳۵۳، ۱۳۵۵، ۱۳۵۷، ۱۳۵۹، ۱۳۶۱، ۱۳۶۳، ۱۳۶۵، ۱۳۶۷، ۱۳۶۹، ۱۳۷۱، ۱۳۷۳، ۱۳۷۵، ۱۳۷۷، ۱۳۷۹، ۱۳۸۱، ۱۳۸۳، ۱۳۸۵، ۱۳۸۷، ۱۳۸۹، ۱۳۹۱، ۱۳۹۳، ۱۳۹۵، ۱۳۹۷، ۱۳۹۹، ۱۴۰۱، ۱۴۰۳، ۱۴۰۵، ۱۴۰۷، ۱۴۰۹، ۱۴۱۱، ۱۴۱۳، ۱۴۱۵، ۱۴۱۷، ۱۴۱۹، ۱۴۲۱، ۱۴۲۳، ۱۴۲۵، ۱۴۲۷، ۱۴۲۹، ۱۴۳۱، ۱۴۳۳، ۱۴۳۵، ۱۴۳۷، ۱۴۳۹، ۱۴۴۱، ۱۴۴۳، ۱۴۴۵، ۱۴۴۷، ۱۴۴۹، ۱۴۵۱، ۱۴۵۳، ۱۴۵۵، ۱۴۵۷، ۱۴۵۹، ۱۴۶۱، ۱۴۶۳، ۱۴۶۵، ۱۴۶۷، ۱۴۶۹، ۱۴۷۱، ۱۴۷۳، ۱۴۷۵، ۱۴۷۷، ۱۴۷۹، ۱۴۸۱، ۱۴۸۳، ۱۴۸۵، ۱۴۸۷، ۱۴۸۹، ۱۴۹۱، ۱۴۹۳، ۱۴۹۵، ۱۴۹۷، ۱۴۹۹، ۱۵۰۱، ۱۵۰۳، ۱۵۰۵، ۱۵۰۷، ۱۵۰۹، ۱۵۱۱، ۱۵۱۳، ۱۵۱۵، ۱۵۱۷، ۱۵۱۹، ۱۵۲۱، ۱۵۲۳، ۱۵۲۵، ۱۵۲۷، ۱۵۲۹، ۱۵۳۱، ۱۵۳۳، ۱۵۳۵، ۱۵۳۷، ۱۵۳۹، ۱۵۴۱، ۱۵۴۳، ۱۵۴۵، ۱۵۴۷، ۱۵۴۹، ۱۵۵۱، ۱۵۵۳، ۱۵۵۵، ۱۵۵۷، ۱۵۵۹، ۱۵۶۱، ۱۵۶۳، ۱۵۶۵، ۱۵۶۷، ۱۵۶۹، ۱۵۷۱، ۱۵۷۳، ۱۵۷۵، ۱۵۷۷، ۱۵۷۹، ۱۵۸۱، ۱۵۸۳، ۱۵۸۵، ۱۵۸۷، ۱۵۸۹، ۱۵۹۱، ۱۵۹۳، ۱۵۹۵، ۱۵۹۷، ۱۵۹۹، ۱۶۰۱، ۱۶۰۳، ۱۶۰۵، ۱۶۰۷، ۱۶۰۹، ۱۶۱۱، ۱۶۱۳، ۱۶۱۵، ۱۶۱۷، ۱۶۱۹، ۱۶۲۱، ۱۶۲۳، ۱۶۲۵، ۱۶۲۷، ۱۶۲۹، ۱۶۳۱، ۱۶۳۳، ۱۶۳۵، ۱۶۳۷، ۱۶۳۹، ۱۶۴۱، ۱۶۴۳، ۱۶۴۵، ۱۶۴۷، ۱۶۴۹، ۱۶۵۱، ۱۶۵۳، ۱۶۵۵، ۱۶۵۷، ۱۶۵۹، ۱۶۶۱، ۱۶۶۳، ۱۶۶۵، ۱۶۶۷، ۱۶۶۹، ۱۶۷۱، ۱۶۷۳، ۱۶۷۵، ۱۶۷۷، ۱۶۷۹، ۱۶۸۱، ۱۶۸۳، ۱۶۸۵، ۱۶۸۷، ۱۶۸۹، ۱۶۹۱، ۱۶۹۳، ۱۶۹۵، ۱۶۹۷، ۱۶۹۹، ۱۷۰۱، ۱۷۰۳، ۱۷۰۵، ۱۷۰۷، ۱۷۰۹، ۱۷۱۱، ۱۷۱۳، ۱۷۱۵، ۱۷۱۷، ۱۷۱۹، ۱۷۲۱، ۱۷۲۳، ۱۷۲۵، ۱۷۲۷، ۱۷۲۹، ۱۷۳۱، ۱۷۳۳، ۱۷۳۵، ۱۷۳۷، ۱۷۳۹، ۱۷۴۱، ۱۷۴۳، ۱۷۴۵، ۱۷۴۷، ۱۷۴۹، ۱۷۵۱، ۱۷۵۳، ۱۷۵۵، ۱۷۵۷، ۱۷۵۹، ۱۷۶۱، ۱۷۶۳، ۱۷۶۵، ۱۷۶۷، ۱۷۶۹، ۱۷۷۱، ۱۷۷۳، ۱۷۷۵، ۱۷۷۷، ۱۷۷۹، ۱۷۸۱، ۱۷۸۳، ۱۷۸۵، ۱۷۸۷، ۱۷۸۹، ۱۷۹۱، ۱۷۹۳، ۱۷۹۵، ۱۷۹۷، ۱۷۹۹، ۱۸۰۱، ۱۸۰۳، ۱۸۰۵، ۱۸۰۷، ۱۸۰۹، ۱۸۱۱، ۱۸۱۳، ۱۸۱۵، ۱۸۱۷، ۱۸۱۹، ۱۸۲۱، ۱۸۲۳، ۱۸۲۵، ۱۸۲۷، ۱۸۲۹، ۱۸۳۱، ۱۸۳۳، ۱۸۳۵، ۱۸۳۷، ۱۸۳۹، ۱۸۴۱، ۱۸۴۳، ۱۸۴۵، ۱۸۴۷، ۱۸۴۹، ۱۸۵۱، ۱۸۵۳، ۱۸۵۵، ۱۸۵۷، ۱۸۵۹، ۱۸۶۱، ۱۸۶۳، ۱۸۶۵، ۱۸۶۷، ۱۸۶۹، ۱۸۷۱، ۱۸۷۳، ۱۸۷۵، ۱۸۷۷، ۱۸۷۹، ۱۸۸۱، ۱۸۸۳، ۱۸۸۵، ۱۸۸۷، ۱۸۸۹، ۱۸۹۱، ۱۸۹۳، ۱۸۹۵، ۱۸۹۷، ۱۸۹۹، ۱۹۰۱، ۱۹۰۳، ۱۹۰۵، ۱۹۰۷، ۱۹۰۹، ۱۹۱۱، ۱۹۱۳، ۱۹۱۵، ۱۹۱۷، ۱۹۱۹، ۱۹۲۱، ۱۹۲۳، ۱۹۲۵، ۱۹۲۷، ۱۹۲۹، ۱۹۳۱، ۱۹۳۳، ۱۹۳۵، ۱۹۳۷، ۱۹۳۹، ۱۹۴۱، ۱۹۴۳، ۱۹۴۵، ۱۹۴۷، ۱۹۴۹، ۱۹۵۱، ۱۹۵۳، ۱۹۵۵، ۱۹۵۷، ۱۹۵۹، ۱۹۶۱، ۱۹۶۳، ۱۹۶۵، ۱۹۶۷، ۱۹۶۹، ۱۹۷۱، ۱۹۷۳، ۱۹۷۵، ۱۹۷۷، ۱۹۷۹، ۱۹۸۱، ۱۹۸۳، ۱۹۸۵، ۱۹۸۷، ۱۹۸۹، ۱۹۹۱، ۱۹۹۳، ۱۹۹۵، ۱۹۹۷، ۱۹۹۹، ۲۰۰۱، ۲۰۰۳، ۲۰۰۵، ۲۰۰۷، ۲۰۰۹، ۲۰۱۱، ۲۰۱۳، ۲۰۱۵، ۲۰۱۷، ۲۰۱۹، ۲۰۲۱، ۲۰۲۳، ۲۰۲۵، ۲۰۲۷، ۲۰۲۹، ۲۰۳۱، ۲۰۳۳، ۲۰۳۵، ۲۰۳۷، ۲۰۳۹، ۲۰۴۱، ۲۰۴۳، ۲۰۴۵، ۲۰۴۷، ۲۰۴۹، ۲۰۵۱، ۲۰۵۳، ۲۰۵۵، ۲۰۵۷، ۲۰۵۹، ۲۰۶۱، ۲۰۶۳، ۲۰۶۵، ۲۰۶۷، ۲۰۶۹، ۲۰۷۱، ۲۰۷۳، ۲۰۷۵، ۲۰۷۷، ۲۰۷۹، ۲۰۸۱، ۲۰۸۳، ۲۰۸۵، ۲۰۸۷، ۲۰۸۹، ۲۰۹۱، ۲۰۹۳، ۲۰۹۵، ۲۰۹۷، ۲۰۹۹، ۲۱۰۱، ۲۱۰۳، ۲۱۰۵، ۲۱۰۷، ۲۱۰۹، ۲۱۱۱، ۲۱۱۳، ۲۱۱۵، ۲۱۱۷، ۲۱۱۹، ۲۱۲۱، ۲۱۲۳، ۲۱۲۵، ۲۱۲۷، ۲۱۲۹، ۲۱۳۱، ۲۱۳۳، ۲۱۳۵، ۲۱۳۷، ۲۱۳۹، ۲۱۴۱، ۲۱۴۳، ۲۱۴۵، ۲۱۴۷

نتیجه‌گیری

کوچک نسبت به قطر محفظه، که روی صفحه‌ی ازْکتور نصب می‌شوند، قابل تولیدند. همچنین استفاده از شش میکروفن ثابت بر روی بدنه‌ی محفظه و یک میکروفون متحرک در راستای محور مرکزی محفظه، امکان ثبت امواج تشدید حاکم بر محفظه و نسبت بزرگی اختلاف فاز آنها را ایجاد می‌کند. مطابق نتایج تجربی اختلاف فاز نوسانات موج بعد از هرگز ۱۸۰ درجه تغییر می‌کند.

معادلات حاکم برای تعیین فرکانس‌های هارمونیک یک لوله‌ی استوانه‌ی را می‌توان برای محفظه‌های حاصل از الحالق یک محفظه‌ی استوانه‌ی و یک نازل همگرای مخروطی استفاده کرده و با تعیین صحیح طول و قطر معادل می‌توان مقادیر فرکانس‌های تشدید حاکم در محفظه را با تقریب ۵٪ محاسبه کرد. مرز فرکانس تحریب امواج ایستا با طول موج کوتاه بهوسیله‌ی مطالعه‌ی اختلاف فاز میکروفون‌های ثابت نسبت به میکروفون متحرک قابل تعیین است.

بررسی‌های فعلی نشان می‌دهد که تغییر شکل یک استوانه به یک مخروط باعث افزایش مقادیر فرکانس امواج مماسی شده و اثرات امواج محوری-مماسی در جهت گلوگاه نازل به سرعت از بین می‌ردد.

هدف این پژوهش به دست آوردن مشخصات آکوستیکی برای محفظه‌ی احتراق موتوروشک ساخت مایع بوده است. در این راستا یک آزمایشگاه آکوستیکی مجهز به تجهیزات تولید و ثبت صدا در محفظه‌های سه‌بعدی ایجاد شده است و امکان ایجاد امواج آکوستیکی محوری و عرضی در محفظه‌های استوانه‌ی، با شرایط مرزی باز و بسته بررسی شده و نتایج حاصله با نتایج نظری مقایسه شده است.

شكل امواج محوری ایستا در محفظه‌های استوانه‌ی بررسی و شرط دگرگونی و تخریب ساختار شکم و گره امواج ایستا متناسب با نسبت طول موج به قطر لوله مشخص شد. نتایج حاصل نشان می‌دهد که نسبت طول موج متناسب با فرکانس آستانه شروع دگرگونی موج ایستای محوری به قطر لوله، (D/λ) ، برابر ۱/۷ است. همچنین از نتایج تجربی فوق می‌توان نتیجه گرفت که مدل متناسب برای بررسی آکوستیک محفظه‌ی احتراق در فرکانس‌های بالا، باید شامل محفظه‌ی احتراق و قسمت همگرای نازل باشد.

امواج عرضی درون محفظه بهوسیله‌ی یک یا چند بلندگوی با قطر

منابع

1. Sutton, G. P. and Biblarz, O., "Rocket propulsion elements", 7th edition, Wiley-Interscience, (2000).
2. Zinn, B. T., "A theoretical study of nonlinear damping by helmholtz resonators", *AIAA Paper 69-481*, AIAA Fifth Propulsion Specialists Meeting (June 1969).
3. Reardon F. H., McBride, J. M. and Smith, A. J., "Effect of injection distribution on combustion instability", *AIAA Journal*, 4(3), pp. 506-512 (1966).
4. Reardon F. H., Crocco, L. and Harrje, D. T., "Velocity effects in transverse mode liquid propellant rocket combustion instability", *AIAA Journal*, 2(9), pp. 1631-1641 (1964).
5. Anthoine, J., Planquart, P. and Olivari, D., "Cold flow investigation of the flow acoustic coupling in solid propellant boosters", *AIAA paper*, 98-0475 (1998).
6. Hessler, R. O., Glick, R. L., Tion, C., Stramezzi, F., Bertele, R., Cedro, D. and Deluca, L. T., "Passive stability measurements in a model rocket motor", 26 th Congress National, Palermo, Italy, (2001).
7. Kinsler, L. E., Frey, A. R., Coppens, A. B. and Sanders, J. V., *Fundamentals of Acoustics*, 2nd Edition, Wiley (2000).
8. Laudien, E., Pongratz, R., Pierro, R., and Perclik, D., "Experimental procedures aiding the design of acoustic cavities", in *Liquid Rocket Engine Combustion Instability*, Progress in Astronautics and Aeronautics, 169, AIAA (1995).
9. Harrje, D. T. and Reaedon, F. H., "Liquid propellant rocket combustion instability", NASA SP-194 (1972).
10. French, J. C., Flanagan, S. N., and Flandro, G.A., "A new method for combustion instability mode shape and frequency computations", JANNAF Propulsion Conference, Monterey, CA (November 1996).